

بهینه سازی انرژی باریکه نوترون در نوترون درمانی با بور با روش مونت کارلو

علی پذیرنده^۱ و الهام شکریان^۲

۱. گروه مهندسی هسته‌ای، واحد علوم و تحقیقات، دانشگاه آزاد اسلامی

۲. گروه فیزیک، دانشگاه تهران، صندوق پستی ۱۹۴۳-۱۹۳۹۵ تهران

paziran@ut.ac.ir

(دریافت مقاله: ۸۳/۱۲/۱۰؛ دریافت نسخه‌نهایی: ۸۴/۱۱/۸)

چکیده

در درمان غدد سرطانی درون مغزی با روش نوترون درمانی با بور، انرژی بهینه نوترون از نظر درمان، فیزیک نوترون و شیمی مسئله، در دهه اخیر مورد مطالعه بوده است گرچه سطح مقطع جذب نوترون حرارتی با بور بالاست (۳۸۳۶ بارن)، لکن برای معالجه غدد درون مغزی نظیر گلیوبلاستوما نیاز به نوترونها سریع است تا ضمن حرکت به سوی غده حرارتی شوند. از سوی دیگر در برخورد نوترونها پر انرژی به هسته اتمها و ویژه هیدروژن، باعث پس زنی پروتون می‌گردند. دوز ناشی از این پس زنی هسته عامل محدود کننده‌ای در تعیین حداکثر انرژی نوترون در درمان با بور است. به همین دلیل بازه انرژی نوترونها فوق حرارتی 10 keV تا 10 eV معمولاً مناسبترین بازه انرژی محاسب می‌شود. در شبیه سازی نوترون درمانی، از روش مونت کارلو با استفاده از دو کد *MCNP4C* و *MCBNCT* همراه با سطح مقاطعه‌ای ۲۹۰ گروهی استخراج شده از *ENDE/B6* استفاده شد. شبیه سازی نشان داد که انرژی مناسب، بستگی به اندازه و عمق غده دارد لکن به علت اندازه و شکل غده و فاصله غده از سطح سر و همچنین توزیع انرژی باریکه نوترون تعیین انرژی دقیق غیر عملی است. مثلاً برای غدهای به پهناهی حدود ۵ سانتی‌متر و ضخامت یک تا دو سانتی‌متر واقع در عمق ۲ تا ۵ سانتی‌متر، انرژی مناسب بین ۳ تا 5 keV است.

واژه‌های کلیدی: نوترون درمانی با بور، نوترون فوق حرارتی، روش مونت کارلو، غده گلیوبلاستوما، کرم، پادتن

۱. مقدمه

چک و چند کشور دیگر کارهای تحقیقاتی عملی و بالینی زیادی در این زمینه انجام می‌گیرد.

روش نوترون درمانی با بور برای اولین بار در سال ۱۹۳۶ توسط

لوچر^۱ مطرح شد و مورد بررسی، تحقیق و توسعه قرار گرفت

[۱]. این روش همچنین توسط ویلیام اسویت^۲ و همکارانش [۲] و

[۳] و بعدها توسط هیروچی هاتاناکا^۳ توسعه یافت و به موفقیت

رسید و برای درمان غدد بدخیم مغز به ویژه گلیوبلاستوما^۴ به کار

گرفته شد. در حال حاضر در کشورهای ژاپن، هلند، انگلستان،

استرالیا، ایالات متحده آمریکا، کانادا، آلمان، روسیه و جمهوری

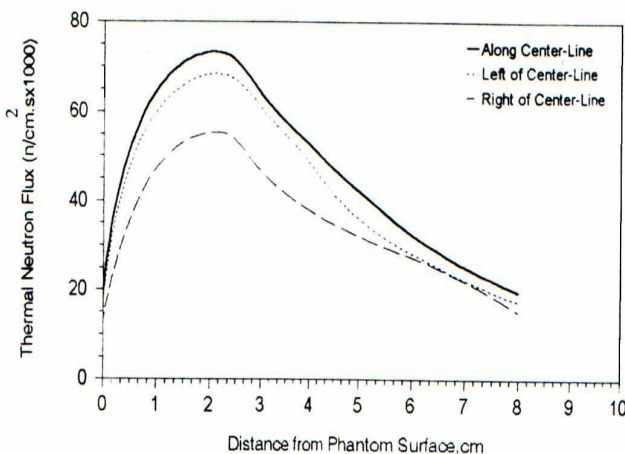
۱. Locher

۲. William Sweet

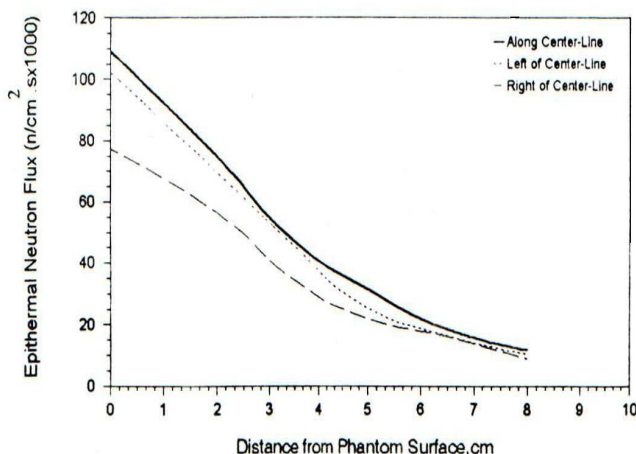
۳. Hiroshi Hatanaka

۴. Glioblastoma

۲. روش نوترون درمانی با بور
در نوترون درمانی با بور، نوترونها سریع قلب راکتور را بعد از عبور از محیط‌های کندکننده و صافیهای مناسب، تبدیل به باریکه نوترونی در گستره انرژی محدود و مناسب می‌کنند و به مغز می‌تابانند. در این روش از نوترونها فوق حرارتی استفاده می‌کنند تا اینکه نوترونها فرودی ضمن عبور از مغز قبل از رسیدن به غده، در نتیجه برخورد با هسته‌های محیط حرارتی شوند (شکل ۱) [۴]. نوترونها باریکه در سلولهای بدخیم و



شکل ۱. ب) توزیع نوترون حرارتی اندازه‌گیری شده در فانتوم سر [۴].

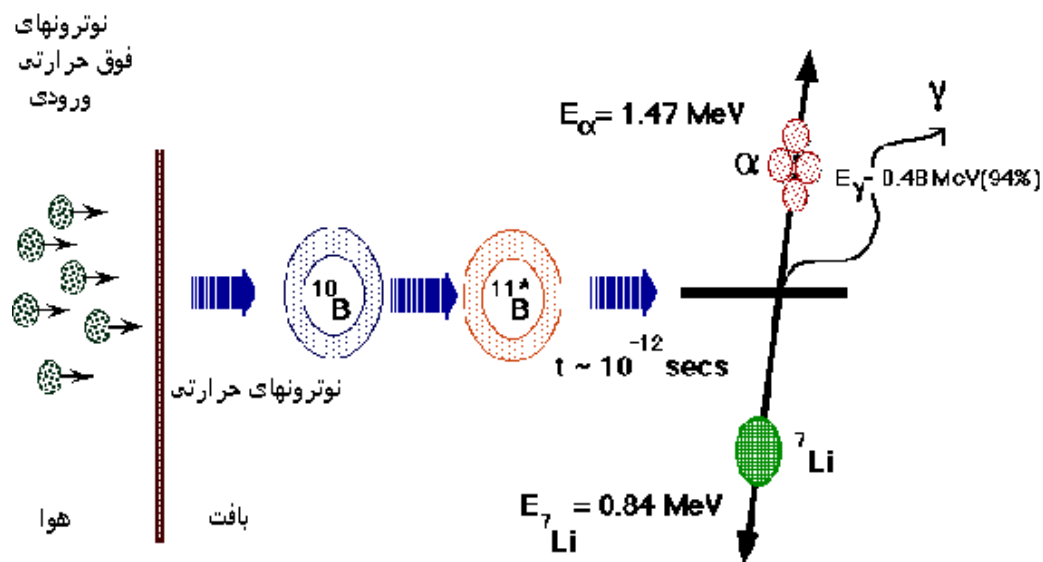


شکل ۱. الف) توزیع نوترون فوق حرارتی اندازه‌گیری شده در فانتوم سر [۴].

تعدیل شود. بدیهی است هر چه غله در عمق بیشتری باشد انرژی نوترون فرویدی باید بیشتر باشد. لازم به ذکر است که طیف انرژی باریکه نوترون فرویدی بیشتر به شکل گاوسی است و نه تک انرژی.

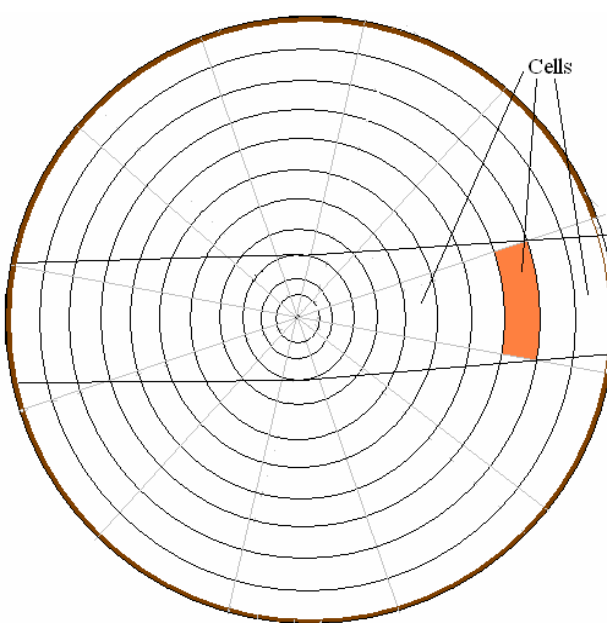
در روش عملی، پس از تزریق ماده پادتن و گذشت مدت زمانی که توسط پزشک تعیین می‌شود سر مریض در معرض تابش باریکه نوترون فوق حرارتی قرار می‌گیرد. بنا بر روش معالجه ممکن است قسمتی از استخوان سر مریض برداشته شود. نوتروونها در اثر برخورد، کند شده و نوتروونهایی که به غله می‌رسند گرچه کاملاً حرارتی نیستند لکن سهم نوتروونهای حرارتی در طیف زیاد است. نوتروونهای کند و حرارتی ممکن است جذب B^{10} شوند و به صورت اتمهای برانگیخته B^{10} برای مدت زمان کوتاهی حدود $\text{sec}^{-12} \times 10^{-12}$ در می‌آیند. اتمهای B^{10} شکافته می‌شوند و به صورت یک یون پرانرژی آلفا با انرژی حدود $1/47\text{MeV}$ و یک یون لیتیوم در می‌آیند. در ۹۴٪ موارد پرتو گاما ای با انرژی 0.478 MeV از هسته برانگیخته B^{10} تابش می‌شود (شکل ۲). در مغز یازده عنصر به صورت ترکیبات مختلف یافت می‌شوند که برای بررسی دقیق لازم است تمام ایزوتوپهای آنها با درصد فراوانیشان در نظر گرفته شوند. برای اطلاعات بیشتر به جدول ۱ مراجعه شود.

سالم جذب می‌شوند. هدف روش نوترون درمانی با بور، تخریب سلولهای غده است به طوری که سلولهای سالم اطراف کمترین صدمه را بینند. چون هدف تخریب غده است لذا باید سعی شود جذب در هر واحد جرم غده بیشتر از اطراف باشد. برای این کار از بور به صورت ترکیبی که به عنوان پادتن است استفاده می‌کنند. مناسبترین ایزوتوپ B^{10} با سطح مقطع جذب ۳۸۳۶ باران است. در سال ۱۹۶۱ و ۱۹۶۲ از ترکیب $\text{Na}_2\text{B}_2\text{O}_7 \cdot \text{H}_2\text{O}$ استفاده کردند که موفقیت آمیز نبود. در اواخر دهه ۱۹۶۰ ترکیب مناسبی به نام BSH با فرمول $\text{Na}_2\text{B}_1\text{H}_{11}\text{SH}$ که یک سولفوهیدرال حاوی B^{10} ، به عنوان پادتن است، توسط هاتاناکا در ژاپن استفاده شد [۵]. دارو را از طریق رگ به بیمار تزریق می‌کنند و این دارو بیشتر در غده تجمع پیدا می‌کند. تجمع B^{10} در غده حدود ۵۰-۳۰ ppm در قسمتهای سالم حدود ۱۰ ppm است. بدیهی است همان طور که شکل (۱-الف) نشان می‌دهد نوتروونهای فوق حرارتی در ضمن عبور در مغز کند شده و از شدت آن کاسته می‌شود، شار نوتروونهای حرارتی در فاصله‌ای از سطح مغز که محل غده تصور می‌شود، به حداقل می‌رسد (شکل ۱ب). بنابراین بر حسب اینکه فاصله غده از سطح مغز چقدر باشد انرژی باریکه نوترون فرویدی باید تا اندازه‌ای

شکل ۲. نمایش واکنش نوترون با B^{10} .

جدول ۱. درصد فراوانی و چگالی اتمی عناصر مغز انسان متوسط برای جوانان و افراد مسن.

عنصر	درصد فراوانی	$10^{24} \times (\text{atom/g})$
C ₁₂	٪/۱۵	٪/۵۲۱ (-۳)
Ca _{۴۰}	٪/٪/۰۰۸۳۴	٪/۲۵۶ (-۶)
Ca _{۴۲}	٪/٪/۰۰۰۵۵۶	٪/۹۸۷ (-۹)
Ca _{۴۳}	٪/٪/۰۰۰۱۱۶	٪/۶۲۸ (-۹)
Ca _{۴۴}	٪/٪/۰۰۰۱۷۹	٪/٪/۴۵۸ (-۸)
Ca _{۴۶}	٪/٪/۰۰۰۳۴۴	٪/٪/۰۸۶ (-۱۱)
Ca _{۴۸}	٪/٪/۰۰۰۱۶	٪/٪/۰۲ (-۹)
C _{۱۳۵}	٪/٪/۱۷۴	٪/٪/۰۱ (-۵)
C _{۱۳۷}	٪/٪/۰۵۷	٪/٪/۰۸ (-۶)
H _۱	٪/٪/۹۹۸۵	٪/٪/۷۵ (-۲)
H _۲	٪/٪/۰۰۱۵	٪/٪/۸۵۵ (-۶)
K _{۳۹}	٪/٪/۲۷۹۸	٪/٪/۲۲۴۷ (-۵)
K _{۴۰}	٪/٪/۰۰۰۰۱	٪/٪/۶۸۶ (-۹)
K _{۴۱}	٪/٪/۰۰۰۱۹	٪/٪/۶۸۷ (-۶)
N _{۱۴}	٪/٪/۸۹۳	٪/٪/۱۴۱۹ (-۴)
N _{۱۵}	٪/٪/۰۰۷۰۳	٪/٪/۸۲۲۷ (-۶)
Na _{۲۲}	٪/٪/۱۸	٪/٪/۷۱۵۷ (-۵)
O _{۱۶}	٪/٪/۷۱	٪/٪/۶۷۲۸ (-۲)
P _{۳۱}	٪/٪/۳۴	٪/٪/۶۱ (-۵)
S _{۳۲}	٪/٪/۱۶۱۵	٪/٪/۰۴۳ (-۵)
S _{۳۳}	٪/٪/۰۰۱۲۷	٪/٪/۲۲۹ (-۷)
S _{۳۴}	٪/٪/۰۰۷۱۵۷	٪/٪/۲۶۹ (-۶)
S _{۳۶}	٪/٪/۰۰۰۰۲۴	٪/٪/۶۹۳۵ (-۹)



شکل ۴. مدل سر انسان محاسباتی شبیه‌سازی.

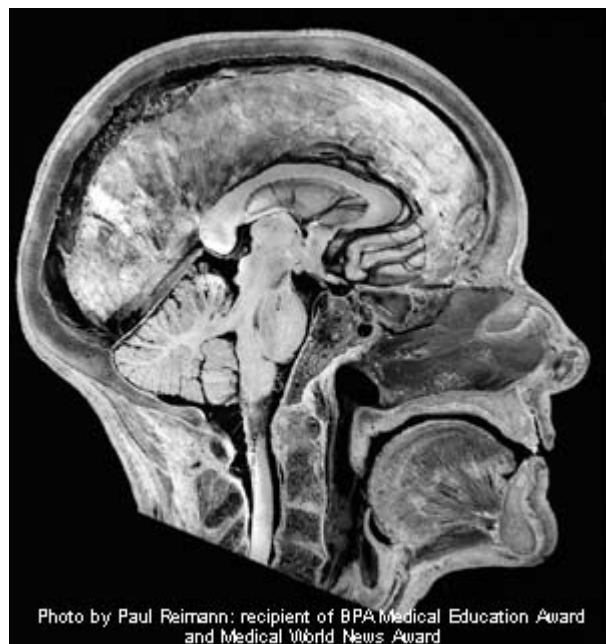


Photo by Paul Reimann: recipient of BPA Medical Education Award and Medical World News Award

شکل ۳. مقطع قائم سر انسان متوسط معيار مدل Snyder.

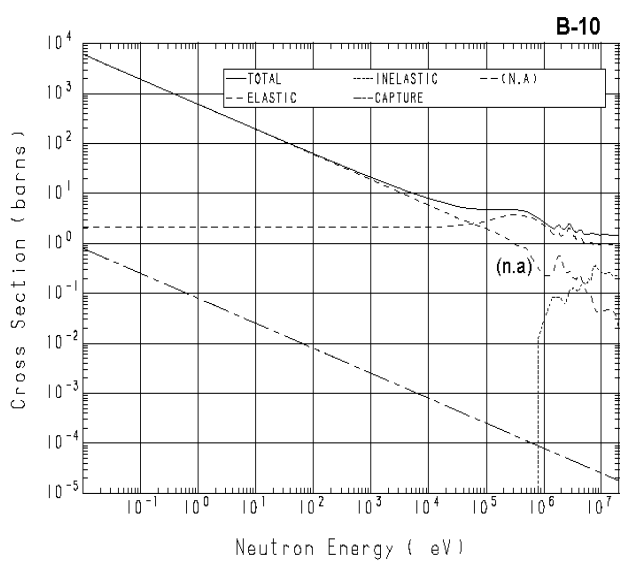
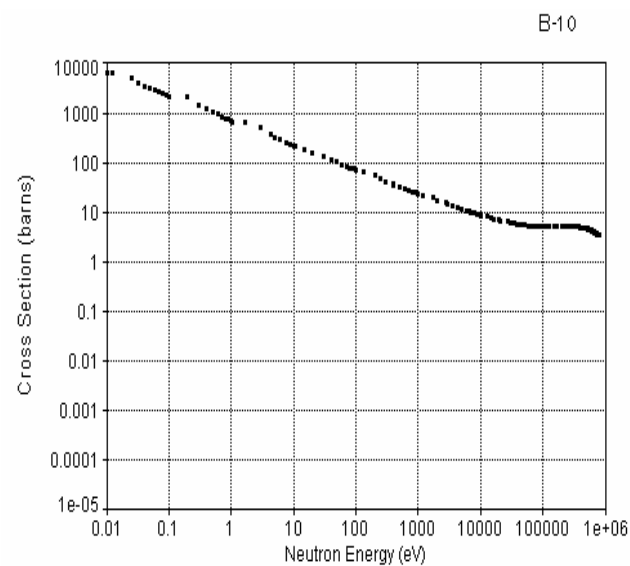
باریکه نوترون تک انرژی نیست بلکه بیشتر گاوسی شکل است. در شبیه سازی معلوم گشت که تغییر جزئی در موقعیت غده نیازمند به تغییر در انرژی باریکه نیست زیرا حرکت نوترونها در محیط مغز کاتورهای است و حرارتی شدن نوترونها در یک ناحیه نسبتاً پهنه رخ می‌دهد.

برای انجام شبیه سازی اقدام به تهیه و تنظیم برنامه کامپیوتری مونت کارلو به زبان ویژوال بیسیک به نام MCBNCT کردیم. این برنامه کامپیوتری به طور همزمان اطلاعات لازم را دریافت کرده و به صورت گرافیکی حرکت نوترونها و واکنشها را نشان می‌دهد. این برنامه اطلاعات اولیه در مورد محل و اندازه غده و اندازه مغز، تعداد نوترونهای فرودی، شعاع باریکه ساز، انرژی نوترونهای فرودی را دریافت می‌کند. برای محاسبه نرخ واکنشهای مختلف نیاز به سطح مقطعهای گروهی است. برای این منظور سطح مقطعهای واکنشهای مختلف عناصر را از کتابخانه ENDF/B6 استخراج و با اعمال تابع وزن طیف انرژی را به 290 keV تقسیم کردیم که بازه انرژی از 10^{-5} keV تا 800 keV است. این گروه‌بندیها را با نمودار تغییرات سطح مقطعها در ENDF/B6 مقایسه کردیم که

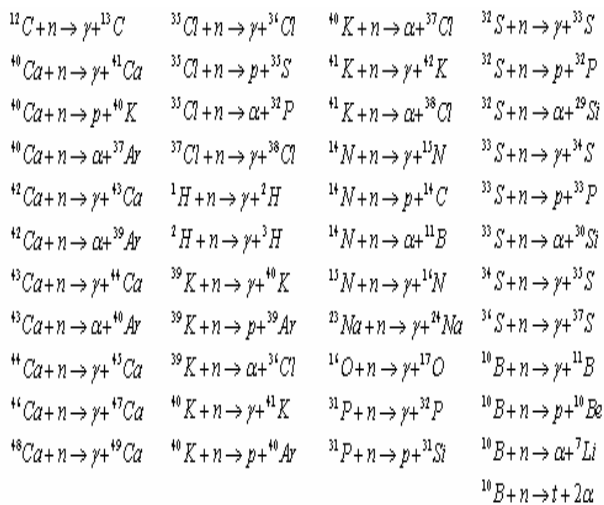
۳. شبیه سازی و بهینه سازی به کمک روش مونت کارلو (MCBNCT)

۳.۱. استفاده از روش محاسباتی مونت کارلو در بررسی فرایند تراوید ذرات

در روش مونت کارلو در حقیقت سعی می‌شود آنچه در طبیعت رخ می‌دهد را تقلید و شبیه سازی نماییم. از آنجا که حرکات ذرات و واکنشها کاملاً کاتورهای در آمار بالا رخ می‌دهد، به همین دلیل روش مونت کارلو در شبیه سازی موقت از روش‌های تحلیلی است. برطبق سرانسان مرجع (شکل ۳)، مدل snyder که به شکل بیضوی با قطر بلند $20/6\text{cm}$ و قطر کوتاه $17/6\text{cm}$ است پیشنهاد شده است. ولی ما در این شبیه سازی سر را به صورت فانتوم کروی به شعاع متغیر (شعاع سر انسان متوسط 10cm است) و غده را به شکل قطاعی در عمق مورد نظر فرض کردیم (شکل ۴). به کمک روش مونت کارلو بر حسب موقعیت غده در مغز، انرژی نوترون در باریکه فرودی را تغییر دادیم تا اینکه جذب در غده به حداقل نسبی برسد ولی در قسمتهای دیگر مغز حداقل ممکن باشد. در شبیه سازی، باریکه نوترون را به دو صورت تک انرژی و گاوسی به طور جداگانه در نظر گرفتیم. لازم به یادآوری است که در عمل

شکل ۶. سطح مقطع کل ^{10}B (ENDF).شکل ۵. سطح مقطع کل ^{10}B (گروه‌بندی به کار رفته در کد (MCBNCT).

که در آن $A = \frac{M}{m}$ ، تقریباً برابر عدد جرمی هسته است و m و M به ترتیب جرم کلاسیکی نوترون و هسته هستند. از این روابط نوترون بعد از پراکندگی در دستگاه آزمایشگاهی است. ۲- فرایند جذب نوترون در هسته‌های مورد اصابت که آهنگ آن بستگی به سطح مقطع ایزوتوپ مورد اصابت دارد عبارتند از:



۳- پس زنی هیدروژن که منجر به پرتاب پروتون از اتم یا مولکول می‌گردد و انرژی نسبتاً زیادی به همراه دارد. این

صحت گروه‌بندی را به خوبی نشان می‌دهد (شکل ۵ و ۶). حال با در نظر گرفتن این سطح مقطعها و چگالی اتمی، با اجرای برنامه کامپیوتری در خروجی برنامه تعداد و محل جذب و پراکندگی نوترونها و انرژی آزاد شده از هر واکنش در هر سلول از مغز سر داده می‌شود. همچنین تعداد نوترونهای نشست شده را به دست می‌دهد. این برنامه همچنین تصاویر گرافیکی از رد نوترونها و جذب در هر عنصر و نشت را نشان می‌دهد.

۲. مکانیزم برخورد نوترون با هسته اتمها و مولکولهای محیط

باریکه نوترونهای فرودی به مغز، فوق حرارتی است و بیشتر برخوردها به هسته از نوع کشسان است و امکان جذب نیز وجود دارد. واکنشهای مهمی که نوترون با هسته‌های محیط انجام می‌دهد و منجر به انتقال انرژی به نسیج می‌گردد عبارتند از:
۱- برخورد کسشان که مطابق با رابطه زیر انرژی به هسته مورد اصابت انتقال می‌یابد.

$$E' = E \frac{A^2 + 2A \cos \theta + 1}{(1 + A)^2}$$

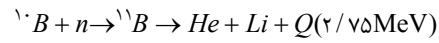
($3\text{MeV} - 600\text{eV}$) در برخورد کشسان با هیدروژن یعنی $H(n, n')H$ بوده و $\approx 90\%$ دوز در مغز را تشکیل می‌دهد. واکنشهای دیگر به ویژه با C, O, P با نوترونها ای با انرژی $5\text{MeV} - 40\text{eV}$ حدود $4 - 8\%$ کرمای مغز را به وجود می‌آورد [۶]. یادآوری می‌شود که ضرایب کرما زیر 25eV در هیچ یک از گزارشها ICRU داده نشده است و دلیل آن این است که در محاسبات از انرژی میانگین طیف حرارتی ماکسول استفاده شده است در حالی که احتمال جذب در ازت زیر انرژی 25eV 0.025eV در مقایسه با محاسبات MCNP تا 12% بیشتر گردد، در نتیجه برای تعیین کرمای مربوط به انرژیهای زیر 1eV منحنیهای مربوطه را در شکل ۵ تا 0.01 الکترون ولت به طور خطی ادامه می‌دهیم. همین امر باعث افزایش سطح مقطع گیراندازی و در نتیجه افزایش واکنش جذب می‌شود.

۴. نتایج

در این پژوهش فانتوم سر را مطابق شکل ۴ با تقسیم بنده به خانه‌های کوچک در آوردهای و محاسبات پراکندگی و جذب و نشت را انجام دادیم. محاسبات شبیه سازی با اجرای برنامه MCBNCT بنا بر نیازهای کاربر انجام می‌گردید. با اجرای برنامه پنجره‌ای ظاهر می‌شود (پنجره ۱) و کاربر بنا بر خواسته مسئله و نیاز خود دادهای را وارد می‌کند و سپس با فشار دکمه مورد خواست، پنجره دوم باز می‌شود که لازم است کمیتهای خواسته شده وارد شود. در نهایت پس از اجرای برنامه نتایج در کشو RESULTS در 20 پرونده بر حسب انرژی ذخیره می‌گردد. در این پروندها اطلاعاتی در خصوص تعداد پراکندگی و گیراندازی در هر خانه بر حسب انرژی ذخیره می‌شود. برای محاسبه انرژی جذب شده در مغز هندسه‌های متفاوتی از سر را در نظر گرفتیم ولی آنچه در این مقاله ارائه می‌شود محاسبات شبیه سازی در استوانه‌ای مطابق شکل ۴ که در بر گیرنده غده و هم محور با باریکه نوترون است انجام شد. به منظور مقایسه، محاسبات را با استفاده از کد MCNP4C برای همان مسئله با همان شرایط انجام دادیم. نتایج محاسبات با

واکنش معمولاً با انرژیهای بالا یعنی با انرژی نوترون حدود کیلوالکترون ولت رخ می‌دهد.

- جذب نوترون و شکافت بور که منجر به ایجاد دو یون He و Li می‌گردد که در 94% واکنشها همراه با تابش گاما 487 keV است.

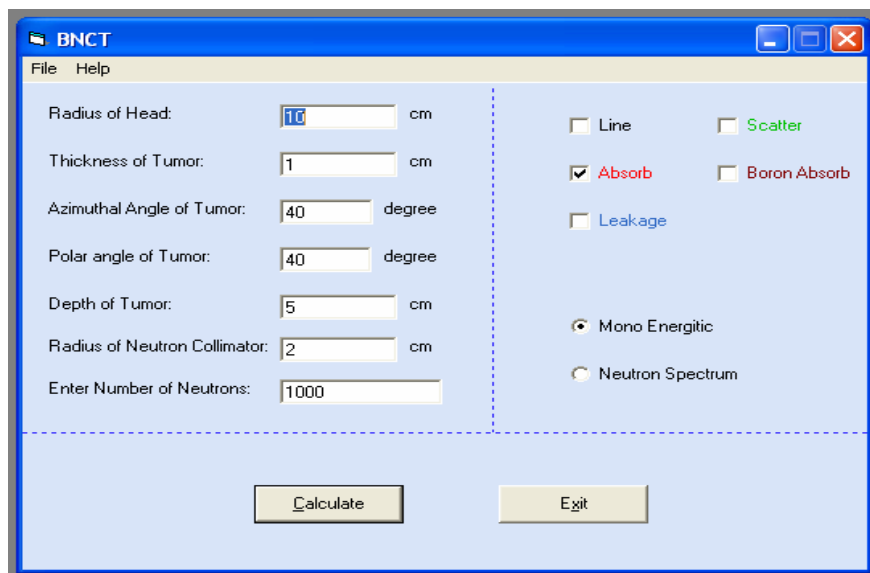


- جذب نوترون در ازت 14 منجر به واکنش (n, p) می‌شود و ضمناً واکنش (n, γ) با نوترون حرارتی نیز رخ می‌دهد که در این واکنش پرتو گاما $10/83\text{ MeV}$ تابش می‌شود.

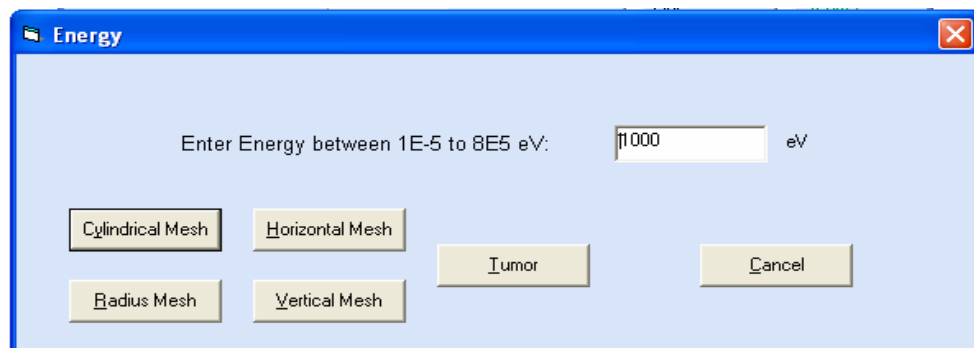
وقتی انرژی نوترون کاهش یافته به حرارتی تبدیل می‌شود جنبشها مولکولی در انتقال انرژی به مولکول تأثیر به سزایی دارند. در اینجا نوترون به جای برخورد به یک هسته به کل مولکول برخورد می‌کند و پراکندگی از کل مولکول رخ می‌دهد و باعث برانگیختگی ترازهای ارتعاشی و احتمالاً دورانی می‌گردد. بدیهی است با کاهش انرژی احتمال جذب نیز زیاد می‌شود. مکانیزم انتقال انرژی در واکنشها به محیط مغز نسبتاً پیچیده است زیرا در هر واکنش بر حسب انرژی نوترون و مولکول مورد اصابت ممکن است یونیزاسیون رخ دهد که منجر به تابش پرتو می‌گردد و نیز الکترونهای پرتاپ شده دارای انرژی هستند که یونیزاسیون مجدد ایجاد می‌کند و همچنین پروتون پس زده نیز یونیزاسیون شدیدی ایجاد می‌نماید. بدیهی است همه انرژیهای منتقل شده منجر به تخریب مولکولی نمی‌گردد و چه بسا انرژی جنبشی مولکولی به ذرات محیط انتقال یابند (جنبش گرمایی). به علت همین پیچیدگیها معمولاً در محاسبه دوز از ضریب کرما استفاده می‌شود.

۳.۳. ضرایب کرما

ضرایب کرما فوتون و نوترون بستگی به انرژی ذره دارد. این ضرایب فلوئنس نوترون و فوتون را به کرما تبدیل می‌کند و تقریباً همان دوز جذبی است. یاد آوری می‌شود که 94% ضریب کرمای نوترون مربوط به فرایند گیراندازی نوترون حرارتی با انرژی زیر 3eV و مربوط به واکنش $N(n, p)C$ است (ICRU46). دوز مربوط به نوترونها سریع



پنجره ۱

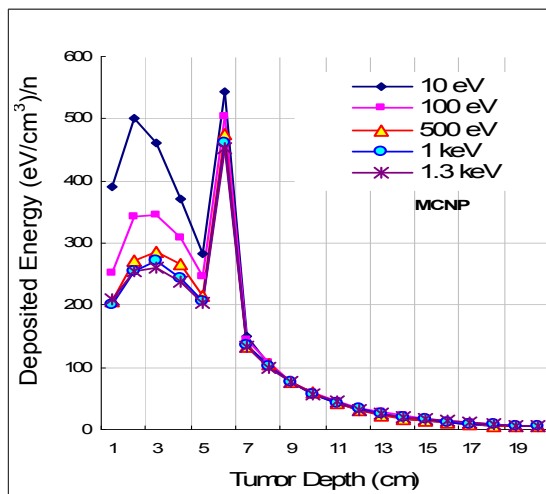


پنجره ۲

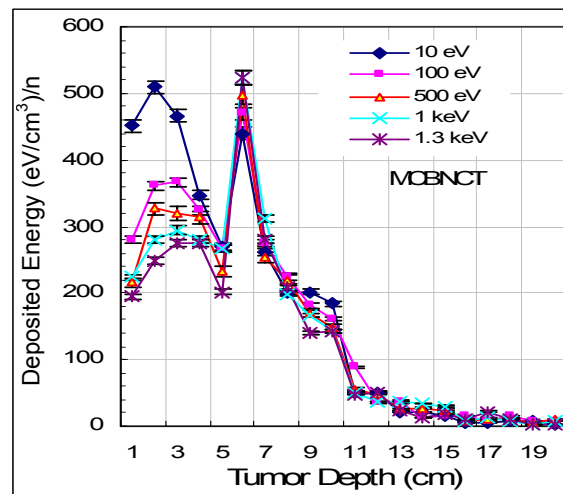
نرديكتر می شود انرژی باریکه نوترون باید کمتر باشد لکن ضخامت خود غده در کد کردن نوترونها نقش دارد. بنابراین نمی توان باریکه تک انرژی را برای هر غده در عمق معین تعريف کرد بلکه باریکه نوترون باید دارای بازه انرژی ΔE باشد که عملاً به صورتتابع گاووس در می آید. این گزینه نیز در کد MCBNCT در نظر گرفته شده است. در این نمودارها انرژی آزاد شده در هر سلول در واحد حجم برای هر نوترون بر حسب انرژی نوترون فروودی رسم شده اند. همان گونه که اشاره شد هدف طرح این است که انرژی جذب شده در غده (در واحد حجم) بیش از حتی انرژی جذب شده در ناحیه جلویی غده باشد. با بررسی شکلهای (۷ الف-ب-پ-ت) به خوبی

نمودارهای شکل ۷ (الف تا د) نشان دهنده انرژی جذب شده در خانه های شکل ۴ است که به ترتیب منحنی های به دست آمده با MCBNCT و MCNP4C در مقابل هم برای باریکه نوترون های تک انرژی ۱۰ keV تا ۱۰ eV هستند.

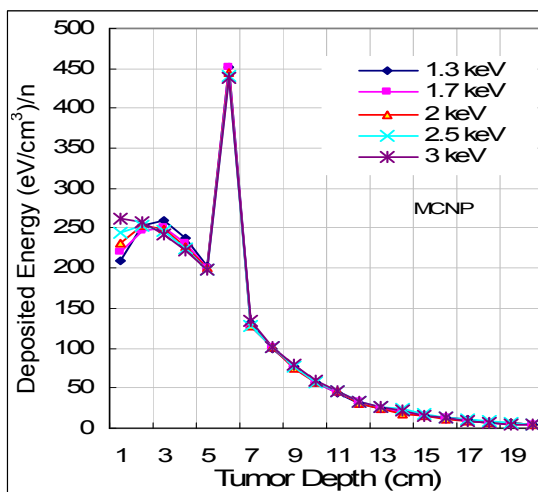
نتایج محاسبات در هر دو مورد نقطه به نقطه و با اعمال خطای شکلهای ۷ داده شده اند. لازم به یادآوری است که ضخامت غده یک سانتی متر در نظر گرفته شده است که سطح جلویی آن در ۵ سانتی متری از سطح سراست. محاسبات جذب انرژی در تک تک خانه های ستون استوانه ای داخل فانتم سر (مغز) را برای غده ای به ضخامت های مختلف و عمق متفاوت انجام دادیم. هر چه غده به سطح سر



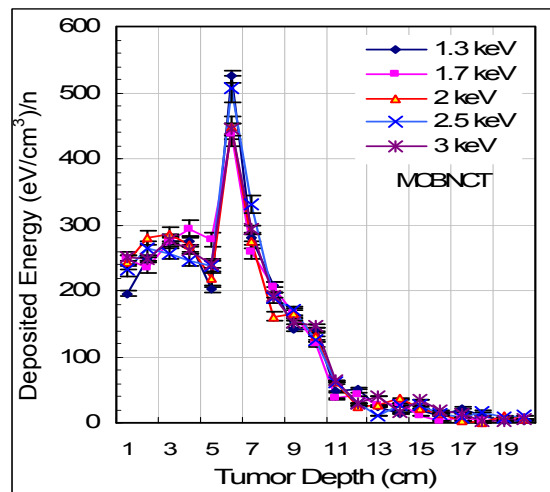
شكل ۷. ب)



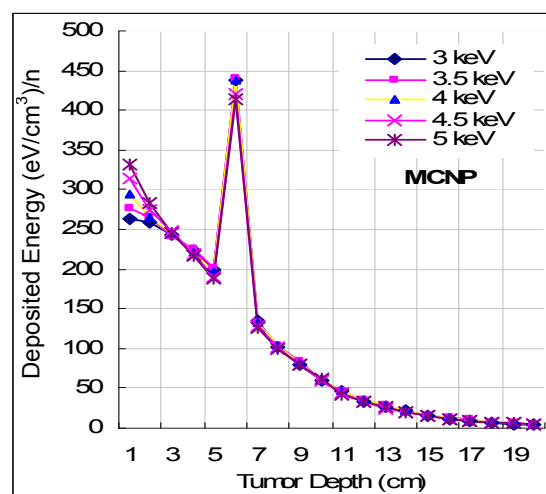
شكل ۷. الف)



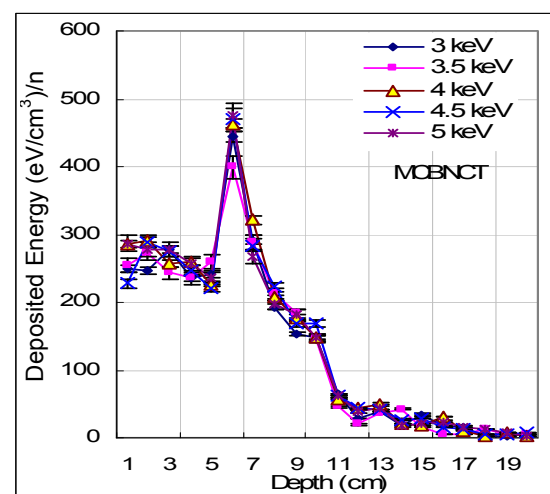
شكل ۷. ت)



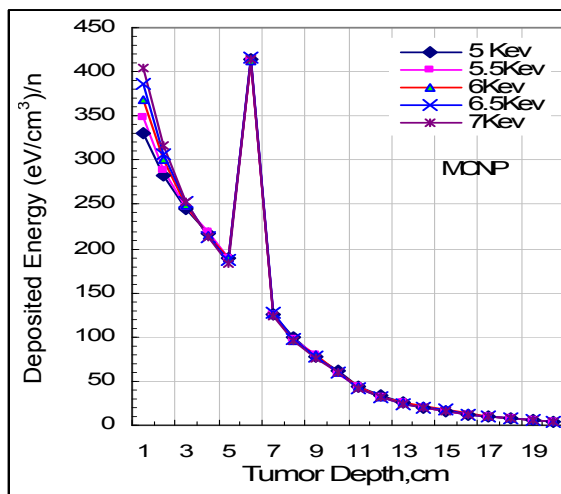
شكل ۷. ب)



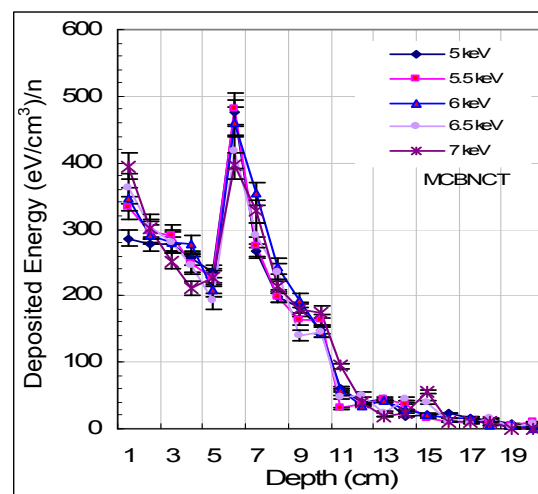
شكل ۷. ج)



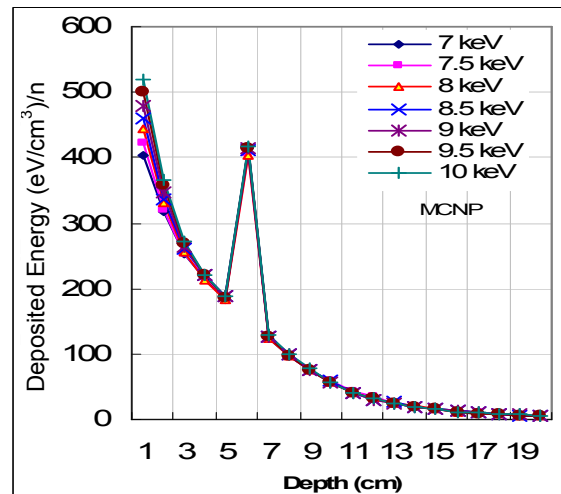
شكل ۷. ث)



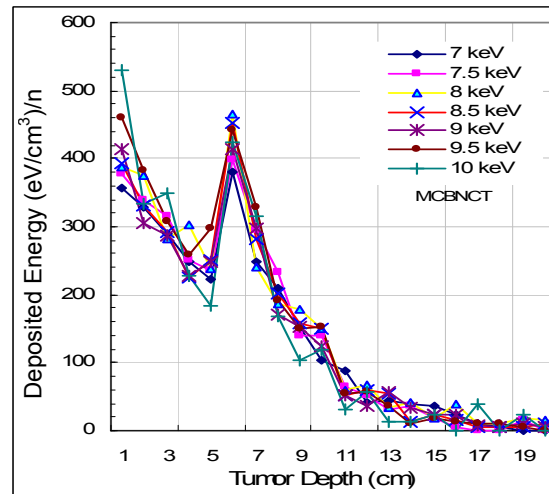
شکل ۷. ح



شکل ۷. ج



شکل ۷. د



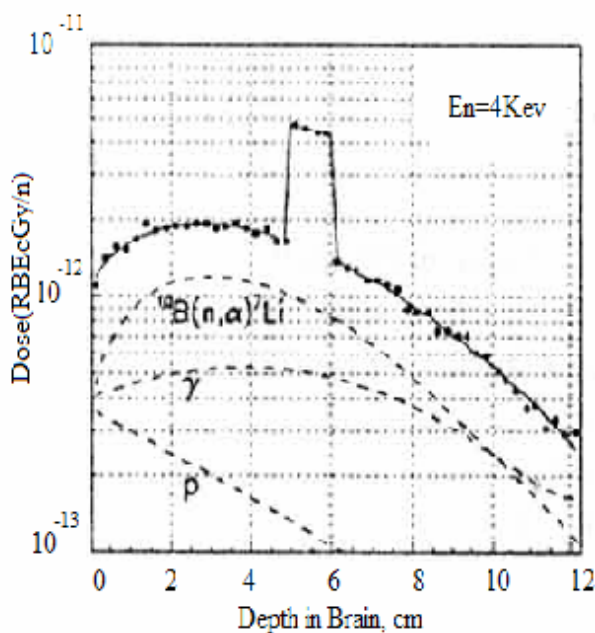
شکل ۷. خ

نتیجه رسیدیم که بر اساس محاسبات MCBNCT برای غده‌ای به ضخامت یک سانتی‌متر واقع در عمق ۵ سانتی‌متری از سطح سر انرژی باریکه نوترون با حدود ۵-۳ keV باشد. مقایسه نتایج محاسبات دوز با استفاده از کد MCBNCT با محاسبات مرجع [۷] در شکل‌های ۸ و ۹ نشان داده شده است.

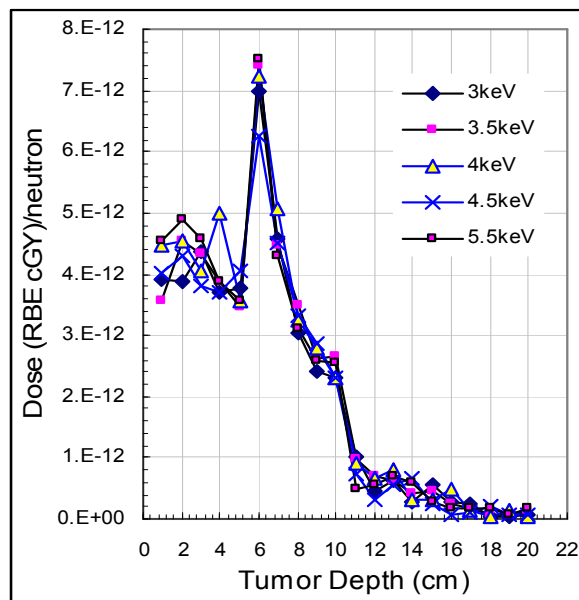
۵. بحث و پیشنهادات

پس از بررسیهای زیاد و مقایسه با کارهای مشابه [۷] و به ویژه مقایسه منحنیهای دوز شبیه سازی شده شکل‌های ۷ پ تا ح

دیده می‌شود که در انرژیهای کم (نوترون) میزان انرژی جذب شده در ناحیه قدامی قابل مقایسه با انرژی جذب شده در غده است. هرچه انرژی نوترون فرودی زیاد می‌شود جذب انرژی در ناحیه قدامی کاهش می‌یابد. با مشاهده شکل‌های ۷-ج-ج-ح دیده می‌شود که از انرژی ۴ keV به بالا مجدداً جذب انرژی در قسمت قدامی افزایش می‌یابد. افزایش انرژی تا حد زیادی مربوط به عمل پس زنی پروتون است که باعث یونیزاسیون شدید و یا منجر به شکسته شدن پیوندهای مولکولی می‌گردد. بعد از بررسی و مقایسه نمودارها به این



شکل ۹. توزیع دوز در سر.[۷]



شکل ۸. توزیع دوز در فانتوم سر.

اختلاف ممکن است مربوط به نبود تابع پراکندگی در کد MCBNCT و اصلاح پراکندگی نوترونها در کد MCNP4C برای نوترونهای زیر ۴eV باشد. همان گونه که در شکلهای ۷ (الف-پ-ث-چ-خ) دیده می‌شود در قسمت راست قله برجستگی وجود دارد که به معنی جذب انرژی بیشتری است. تصور ما این است که این برجستگی بیشتر مربوط به افت توزیع شار نوترون در غده و خیزش مختصر آن پس از غده است. در همه شکلهای برجستگی پس از قله در فاصله ۹ تا ۱۰ سانتی‌متری ظاهر شده است.

در شبیه سازی معلوم گشت که تغییر جزئی در وضعیت غده نیازمند به تغییر در انرژی باریکه نیست زیرا حرکت نوترونها در محیط مغز کاتورهای است و حرارتی شدن نوترونها در یک ناحیه نسبتاً پهنه رخ می‌دهد. ضمناً با توجه به ساختار مغز و شکل غده (شکل ۴) تعیین باریکه‌ای از انرژی نوترون مستلزم اندازه‌گیری است. برای شبیه سازی واقعیت نیاز به دانستن ساختار دقیق مغز و ترکیبات آن است.

نکته حائز اهمیت دیگر مربوط به اثر پراکندگی نوترونهای حرارتی با انرژی کمتر از ۴eV است. در پراکندگی این نوترونها اثر جنبش مولکولی حرارتی و اثر موجی تابع پراکندگی متفاوت

توزیع انرژی جذبی محاسبه شده توسط MCBNCT به نظر واقعی تر می‌آید تا نتایج به دست آمده از کد MCNP4C. مثلاً در آستانه ورود نوترونها به مغز تا قبل از رسیدن به غده باریکه نوترونها شامل نوترونهای حرارتی و فوق حرارتی است. میزان جذب در مغز کمتر است مثلاً مقایسه شکلهای (۷-پ-ث-چ) با شکلهای (۷-ت-ج-خ). به تدریج که نوترونها فوق حرارتی انرژی از دست می‌دهند احتمال جذب بیشتر می‌شود. با افزایش انرژی نوترون همان گونه که در شکلهای (۷-پ-ج) دیده می‌شود میزان جذب نوترونهای حرارتی کمتر است ولی به علت واکنش پروتون پس زنی انرژی جذب شده در نسجهای سالم پیش از غده افزایش می‌یابد. هر چه انرژی نوترون بیشتر می‌شود این افزایش انرژی نیز بیشتر است (شکلهای ۷-ج-خ). این پدیده در هر دو محاسبات MCBNCT و MCNP4C مشابه هم هستند. ضمناً توزیع شار نوترون در شکلهای (۷-الف-پ-ث-چ-خ) به علت کاتورهای بودن کل فرآیند واقعی تر به نظر می‌رسد تا آنچه که در شکلهای (۷-ب-ت-ج-ح-د) نشان داده شده است. کل انرژی جذب شده در زیر کل منحنی در هر یک از محاسبات با تقریب ۱۰٪ برابرند ولی در زیر قله مربوط به غده محاسبات MCBNCT مقدار بیشتری نشان می‌دهد. این

شده در قله منحنی با استفاده از مدل پراکندگی نوترونها حتی ممکن است تا بیش از ۱۲٪ بیشتر از دوز محاسبه شده با استفاده از مدل گاز آزاد باشد [۷].

لازم است این نتایج محاسباتی با دوز واقعی در محاسبات بالینی مقایسه شود و به نظر ما بهتر است روی این مسئله و فرآیند انتقال انرژی کارهای محاسباتی و شبیه سازی بیشتری انجام گیرد.

از فرض مدل گاز آزاد است که در نظر گرفته می شود. یادآور می شود که در کد MCNP4C برای چند ماده از جمله مولکول آب تابع پراکندگی $S(\alpha,\beta)$ وجود دارد [۸] ولی برای مولکولهای سنگین از جمله BSH از مدل گاز آزاد استفاده می شود. این اختلاف تابع پراکندگی در تراپرید نوترون در مغز اثر دارد و نتیجه آن افزایش نرخ دوز با نوترون حرارتی است [۷]. گزارش کرده‌اند که میزان دوز نوترون حرارتی محاسبه

مراجع

6. J T Goorley, W S Kiger III and R G Zamenhof, *Med. Phys.* **29** (2002) 145-56.
7. E Bisceglie, P Colangelo, N Colonna, P Santorelli and V Variale, *Phys. Med. Biol.* **45** (2000) 49-58.
8. M Mattes and J Keinert, "Thermal neutron scattering data for the moderator materials H₂O, D₂O and ZrHx in ENDF-6 format and as ACE library for MCNP (X) codes." *INDC(NDS)-0470, IAEA*, April (2005).
1. G L Locher, *Am. J. Roentgenel*, **36** (1936) 1.
2. Philip Rubin; Editor note; *International Journal of Radiation Oncology. Biology. Physics*; **28**, 5 (1994).
3. A H Soloway, F Alarn, R F Barth, A K M Anisuzzaman and B V Bapat; *Basic Life Science*. **54** (1990).
4. Ali Pazirandeh and M E Fazilat *Int. Radiatim Physics Society* **16** (2002) 3.
5. F Barth Rolf, A Coderre Jeffrey, H Vicente Graca, E Blue Thoma, *Clin Cancer Res.* **11** (2005).